

معرفی نانوحباب‌ها، ویژگی و کاربرد آنها

مرضیه جان نثاری^{۱*}، امید اخوان^۲، حمیدرضا مداد حسینی^۳

۱- پژوهشکده علوم و فناوری نانو، دانشگاه صنعتی شریف، تهران

۲- دانشکده فیزیک، دانشگاه صنعتی شریف، تهران

۳- دانشکده مهندسی و علم مواد، دانشگاه صنعتی شریف، تهران

چکیده

فضاهای خالی نانومتری پرشده از گاز در توده‌ی یک مایع و یا در فصل مشترک جامد-مایع به ترتیب نانوحబاب‌های توده و سطحی نامیده می‌شوند. هرچند وجود نانوحబاب‌ها تا سالها در هاله‌ای از ابهام قرار داشت، خوشبختانه با ظهور روش‌های تصویربرداری در مقیاس نانومتری امکان اثبات این حفرات نانومتری فراهم شد. نانوحబاب‌ها بواسطه‌ی بروز خواص ویژه و منحصر بفردی مانند پایداری بیش از انتظار، دارا بودن بار سطحی منفی و ایجاد گونه‌های فعال اکسیژن، در سال‌های اخیر، توجه بسیار زیادی را در زمینه‌های متفاوتی مانند صنعت آب، کشاورزی و پزشکی به خود معطوف کرده‌اند. سه روش عمده تولید نانوحబاب‌ها شامل تشکیل خودبخودی، تولید از طریق فوق اشباعی گاز و در نهایت ایجاد اختلالات در مایع است. این مقاله، بطور خلاصه به تعریف و طبقه‌بندی انواع نانوحబاب‌ها، ویژگی آنها (از جمله تئوری‌ها و شواهد موافق و مخالف پایداری نانوحబاب‌ها) و در نهایت روش‌های تولید و کاربردهای مهم صنعتی آنها می‌پردازد.

کلمات کلیدی: نانوحబاب‌ها، تاریخچه‌ی نانوحబاب‌ها، خصوصیات نانوحబاب‌ها، تصفیه‌ی آب و پساب، کشاورزی

ایمیل نویسنده مسئول: mjannesari2000@gmail.com

مشخصه پابی و اندازه‌گیری حباب‌های بسیار ریز تاکید داردند. به تازگی، پژوهشگران روش‌هایی برای تولید نانوحబاب‌ها در مقیاس‌های بزرگ برای کاربردهای صنعتی مانند تصفیه‌ی پساب‌های صنعتی معرفی کرده‌اند. علیرغم این حجم از مطالعات، تاکنون گزارش‌های اندکی در ارتباط با بررسی جامع نانوحబاب‌ها در زمینه‌های تاریخچه‌ی ظهور، طبقه‌بندی، مشخصات، کاربردها و روش‌های تولید آنها ارائه شده است.

۱-۱- طبقه‌بندی حباب‌ها
حباب‌ها بر اساس ابعاد به سه دسته‌ی عمده تقسیم می‌شوند. این تقسیم‌بندی به صورت زیر است:

الف- حباب‌های ماکرومتری که قطری از مرتبه چند میلی‌متر (۵-۲ mm) دارند. این حباب‌ها با خاصیت شناوری خیلی بالا تمایل زیادی دارند که با سرعت بالایی به سمت سطح حرکت کرده و در سطح منفجر^۲ شوند. این دسته حباب‌ها اصولاً در

۱- مقدمه

۱-۱- تعریف و طبقه‌بندی حباب‌ها

نانوحబاب‌ها فضاهای خالی^۱ پر شده از گاز با قطری کمتر از ۱۰۰۰ nm (در برخی منابع کمتر از ۲۰۰ nm عنوان شده است^[۱]) هستند که خواص فیزیکی-شیمیایی منحصر بفرد آنها مانند طول عمر غیر عادی بلند (تا چند ماه)، این پدیده‌ها را به گزینه‌های بسیار جذاب برای تحقیقات تبدیل کرده است. در واقع هسته‌ی این فضاهای خالی متشکل از گاز بوده و در برخی شرایط می‌توانند با لایه‌ای از اسپارها و یا فسفولیپیدها پوشش داده شوند^[۲].

در دو دهه‌ی اخیر، پژوهشگران گزارش‌های زیادی برای بهبود کارآیی فرایندهای فصل مشترک گاز-مایع از طریق نانو و میکرو حباب‌ها ارائه کرده‌اند که بخش عمده‌ی آنها بر روش‌های تولید،

۲- تاریخچه ظهور نانوحبابها

نانوحبابهای سطحی و نانوحبابهای توده از نظر تاریخچه ظهور، کاربردها و تکنیکهای مشخصه یابی به وضوح از همدیگر قابل تفکیک هستند و بنابراین، یک دوقطبی را تشکیل می‌دهند.

گزارش‌های مربوط به ظهور نانوحబابهای توده از نظر تاریخی بر نانوحبابهای سطحی تقدیم دارند.

۲-۱- تاریخچه ظهور نانوحبابهای توده

در سال ۱۹۶۰ سمت^۳ و واندرلینگ^۴ نشان دادند که هسته‌های موجود در تشبعات کیهانی با انرژی بالا (و یا آنهایی که بطور مصنوعی ساخته شده‌اند)، انرژی صوتی لازم جهت شروع کاویتاسیون توده‌آب را کاهش می‌دهند. این امر منجر به تشکیل هسته‌های کاویتاسیون می‌شود و این هسته‌ها بوسیله‌ی آلودگی‌های موجود در آب، برای مدتی پایدار می‌مانند. علاوه بر این، آنها نشان دادند که به وسیله‌ی محافظت آب از هسته‌ها، انرژی آستانه‌ی کاویتاسیون^۵ به بازه‌ی ۵ ساعت افزایش می‌یابد. این امر بیان می‌کند که میکروفضاهای خالی حداقل برای همین مدت زمان پایدار هستند^[۶]. گروه دیگر، کاویتاسیون در محلول‌های فوق اشباع شده با گاز را مطالعه کردند. نتیجه‌ی حاصل از کار آنها نیز می‌بین این موضوع بود که آستانه‌ی فوق اشباعی برای ایجاد کاویتاسیون در محلول‌هایی که از پیش با گاز با فشار بالا اشباع شده‌اند، افزایش می‌یابد^[۷].

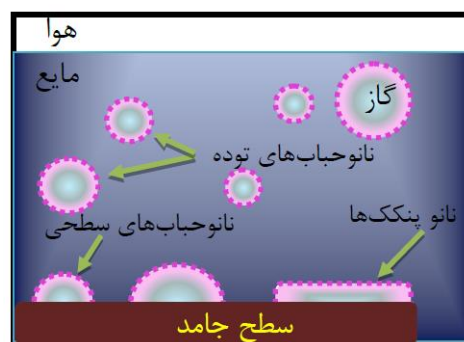
قدیمی ترین شواهد مربوط به معرفی نانو حباب‌های توده با قطر کمتر از ۱ میکرومتر نخستین بار توسط جانسون^۶ و کوک^۷ در سال ۱۹۸۱ گزارش شده است^[۸]. گزارش آنها حاکی از این بود که حباب‌های تشکیل شده در آب دریا که بوسیله‌ی تنش برشی تشکیل می‌شوند برای مدت زمان زیادی (حدود ۲۲ ساعت) پایدار هستند. این امر، نتیجه‌ای از تشکیل یک فیلم (از سطح فعالهای موجود) بر سطح نانوحباب‌ها در آب دریا است. پژوهش آنها نشان داد که این حباب‌ها حاوی گاز هستند بطوریکه وقتی در معرض فشار منفی قرار می‌گیرند، منبسط شده و زمانی که در معرض فشار مثبت قرار می‌گیرند، بعضی متراکم و بعضی منفجر می‌شوند. همانطور که آب شور دریا از در هم آمیختگی حباب‌ها جلوگیری می‌کند، شکست و تلاطم موج‌ها در آب دریا به آسانی تعداد زیادی حباب کوچک ایجاد می‌کنند. بر این اساس، در تحقیق مذکور نشان داده شده است

مخمرها، راکتورهای گاز-مایع و یا تجهیزات شناوری کاربرد دارند^[۳].

ب- حباب‌های میکرووی با قطری معادل ۱۰-۶۰ میکرومتر^[۴] و یا در برخی موارد کمتر از ۵۰ میکرومتر^[۵] هستند که دارای طول عمری از مرتبه‌ی چند ثانیه تا چند ساعت هستند.

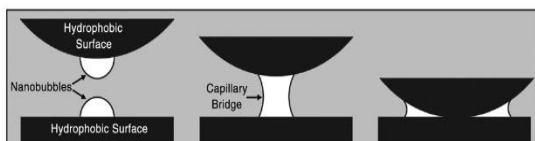
ج- حباب‌های نانویی از لحاظ اندازه و فرم مطابق با شکل ۱ به سه دسته‌ی کلی نانوحباب‌های سطحی، نانوپنککها و نانوحباب‌های توده دسته‌بندی می‌شوند^[۶].

واژه‌ی نانوحباب‌های سطحی در واقع به حباب‌هایی گفته می‌شود که با شکل کلاهک‌های کروی (از یک طرف مسطح- از یک طرف محدب)^[۱] در فصل مشترک جامد/ مایع ظهور می‌کنند. در واقع این حباب‌ها در فصل مشترک گاز-جامد مسطح و در فصل مشترک گاز-مایع محدب هستند (شکل ۱). ارتفاع این حباب‌ها اصولاً بین ۱۰۰-۱۰ nm و قطر خط تماس آنها بین ۵۰۰-۵ nm است^[۷]. نانوپنککها^۸ دسته دوم نانوحباب‌ها هستند. این فضاهای خالی حاوی گاز، بسیار شبیه به نانوحباب‌های سطحی اما با زاویه مقاس متفاوت هستند. عرض نانوپنکک‌ها در حدود چند میکرومتر و ارتفاع آنها در حدود ۲-۱ nm است^[۸]. از طرف دیگر، بسته‌های کروی پر شده از گاز با قطر کمتر از ۱۰۰۰ nm (در برخی منابع قطری کمتر از ۲۰۰ nm ملاک قرار می‌دهند^[۱]) که آزادانه در توده‌ی یک مایع غوطه‌ور هستند را نانوحباب‌های توده می‌نامند^[۱].



شکل ۱- طرح‌واره از انواع نانو حباب‌ها

های آبی مطرح شد. این نیروها به هیچ عنوان با نیروهای وان دروالس قابل توضیح نبودند^[۶]. از آنجایی که برهمکنش‌های بین سطوح آبگریز در فواصل نانومتری در محلولهای آبی در فرایندهای متفاوت صنعتی و بیولوژیکی مانند دیسپرسیون‌های نفتی (روغنی)، شناوری ذرات معدنی، تا خورده‌گی پروتئین‌ها و خود تجمعی^۴ مولکولهای آمفوتر از اهمیت زیادی برخوردار بودند، تئوری‌های متفاوتی برای توضیح این نیروها ارائه شد. اما هیچ یک از این تئوری‌های ارائه شده نتوانست به درستی حضور این نیروها را توضیح دهد. در سال ۱۹۹۴ فرضیه‌ی حضور حباب‌های با ابعاد کوچکتر از میکرومتر پرشده از گاز توسط پارکر^۵، اتارد^۶ و کلاسون^۷ برای توضیح حضور این نیروهای بلندبرد، ارائه و پیشنهاد شد^[۱۵]. طبق این فرضیه، اگر سطوح آبگریز با حباب‌های نانویی پوشیده شده باشند با نزدیک کردن سطوح به یکدیگر، حباب‌های موجود بر روی هر یک از سطوح برای مینیم کردن تنش سطحی با حباب‌های سطح مقابله ترکیب شده و یک پل مویین^۸ گازی مقرر تشکیل می‌دهند (شکل ۳). در واقع این نیروی جاذبه همان نیروی حاصل از پل مویین یا نیروی مویین^۹ است^[۱۶].



شکل ۳- سازوکار ساده شده از نیروی مویین بین نانو حباب‌ها بین دو سطح هیدروفوب^[۱۶]

با این وجود، به دلیل عدم دسترسی به تکنیک‌های تصویربرداری دقیق، حضور نانو حباب‌ها تا سال‌ها در هالهای از ابهام قرار داشت و بسیاری از دانشمندان حضور این فضاهای خالی پایدار را رد میکردند.

نخستین شواهد حضور نانو حباب‌های سطحی توسط میلر^{۱۰} در سال ۱۹۹۹ در طیف‌سنجی فرو سرخ تبدیل فوریه (FTIR^{۱۱}) از آب غنی از گاز بوتان بر سطح سیلیکای آبگریز مشاهده شد. در این طیف‌سنجی FTIR مربوط به گاز بوتان با غلظت بسیار کمی از بوتان جذب شده مشاهده شد. افزون براین، پیک

⁴ Self-assembly

⁵ Parker

⁶ Attard

⁷ Claesson

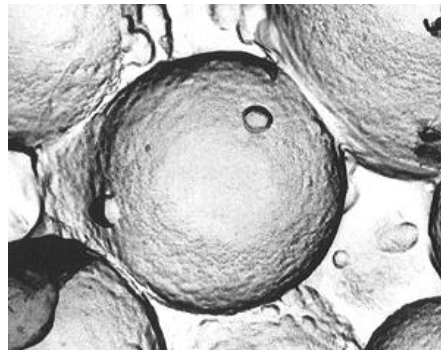
⁸ Capillary bridge

⁹ Capillary force

¹⁰ Miller

¹¹ Fourier transform infra-red

که این حباب‌ها می‌توانند به نانو حباب‌های کوچکتری که به مدت حداقل ۲۴ ساعت پایدار هستند تبدیل شوند. این امر بدان معنا است که آب دریا با احتمال بسیار زیادی حاوی جمعیت کثیری از نانو حباب‌ها است^[۱۲]. به همین ترتیب، در آب‌های تازه (که ممکن است حاوی مقادیری از مواد آلی باشند) تشکیل نانو حباب‌ها با فراوانی زیاد بواسطه‌ی آشفتگی‌های ناشی از حرکات آبشاری و یا جریانات تند، قابل انتظار است. جالب است بدانیم که نانو حباب‌های فسیل شده‌ای که با مواد آلی پوشش داده شده‌اند در دریاچه‌ی کیو^{۱۲} واقع در شرق آفریقا دیده شده‌اند (شکل ۲). پیشنهاد داده‌اند که این کره‌های پوشش داده شده احتمالاً پیش ماده‌هایی برای سلولهای اولیه حیات هستند. بنابراین، بی‌شک می‌توان نقش چشمگیری در پیشرفت زندگی اولیه برای آنها قائل بود^[۱۳]. پس از این گزارش، تا دهه‌ی ۱۹۹۰ که بانکین^{۱۴} و همکارانش حضور حباب‌ها پایدار را در محلولهای رقیق الکترولیت گزارش کردند، مقاله‌های کمی در ارتباط با نانو حباب‌های توده منتشر شد. پایداری این حباب‌ها به یون‌های جذب شده در سطح حباب‌ها با ایجاد نیروی دافعه نسبت داده شده است^[۱۴].



شکل ۲- میکروگراف الکترونی از ذرات کروی توخالی با قطری معادل nm ۱۰۰۰-۸۰۰ و دیواره‌هایی با ضخامت nm ۵۰ حاوی رزین‌های بسپاری که در اطراف نانو حباب متنان در دریاچه‌ی کیو در آفریقای شرقی تشکیل شده است^[۱۳].

فصلنامه
- علمی-
- ترویجی
- اجتماعی
نانو فناوری
ابان

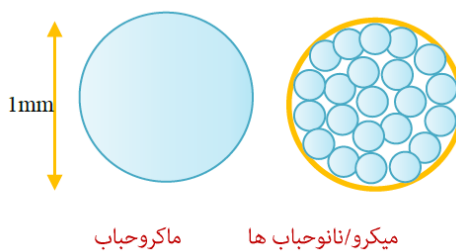
۲-۲- تاریخچه‌ی ظهور نانو حباب‌های سطحی

وجود نانو حباب‌های سطحی برای نخستین بار در سال ۱۹۹۴ در مطالعات مربوط به نیروهای جاذبه‌ی بین سطوح آبگریز در یک فاصله بلند برد (حدود ۳۰۰ نانومتر (LRHAF^{۱۵})) در محلول

¹ Kivu

² Bunkin

³ Long range hydrophobic attractive force



شکل ۵- افزایش سطح به حجم حبابها با کاهش قطر

۳-۲- شناوری بسیار پایین

نیروی شناوری طبق معادله^۱ متناسب است با حجم حباب. بنابراین، با کاهش حجم حباب میزان نیروی شناوری نیز کاهش می‌یابد (شکل ۶)[۲۱].

$$F = pVg \quad \text{معادله (۱)}$$

در این معادله، p چگالی سیال، V حجم حباب و g شتاب گرانش است. بر این اساس، حباب‌های ۱ میلی متری با سرعتی معادل 0.361 f/s به سطح آب می‌آیند. این سرعت برابر بزرگتر از سرعت بالا آمدن نانوحباب‌ها و میکروحباب‌ها در آب است. این خاصیت در پایداری نانو حباب‌ها در مایعات نقش شایان توجهی دارد.

۳-۳- بار سطحی

بار سطحی (ζ) یک عامل بسیار مهم برای درک خواص نانوحباب‌ها است. در سلول‌های الکتروفورز، ذرات به سمت الکترود با بار مخالف حرکت می‌کنند. بدین ترتیب نوع و مقدار بار را می‌توان از جهت و سرعت حرکت آنها به سمت الکترود مخالف با استفاده از پتانسیل الکتریکی تعیین کرد. اصولاً نانوحباب‌ها در آب و در pH خنثی بصورت منفی باردار هستند (شکل ۷). باردار بودن نانوحباب‌ها به حضور یون‌های OH^- اضافی (نسبت به یون‌های H^+ در فصل مشترک گاز-آب) در آب خالص و یا به جذب یونهای الکتروولیت در محلول الکتروولیت نسبت داده می‌شود. بسته به نوع گاز محبوس در نانوحباب‌ها، ζ آنها متفاوت خواهد بود. برای مثال، پتانسیل سطحی برای نانوحباب‌های اکسیژن حدود -۴۰mV و برای نانوحباب‌های هوا -۲۰mV است.

های این گاز با گذشت زمان، کوچکتر شدند که نشان از حل شدن بیشتر حباب‌ها داشت. این زمان از مرتبه چندین دقیقه بود که در مقایسه با چند میکروثانیه بسیار بیشتر بود[۲۶]. کمی پس، دو گروه در دو نقطه‌ی متفاوت شامل گروه ایشیدا^۱ [۱۸] و لویی [۱۹] در سال ۲۰۰۰، با کمک میکروسکوپ نیروی اتمی در مدقّماسی (شکل ۴) (TAFM^۲) توانستند نانوحباب‌ها را به تصویر درآورند. بدین ترتیب شک و شبه‌های مربوط به حضور نانوحباب‌ها تا حدود زیادی برطرف شد[۱۸]. پس از آن، گره‌های متفاوتی با بهره‌گیری از این روش، پدیده‌ی نانوحباب را تایید کردند و در عوض، گروه‌های دیگری نیز بودند که ادعای وجود نانوحباب‌ها را به خطاهای آزمایشگاهی بخصوص به آلودگی‌های منتقل شده از نوک AFM منتب می‌دانستند.



شکل ۴- نخستین عکس TMAFM از نانوحباب‌های سطحی بر [۱۹] HOPG- آب- مشترک

۳- خواص ویژه نانوحباب‌ها

۱-۳- نسبت سطح به حجم بالا

نانوحباب‌ها، مانند سایر ساختارهای نانویی سطح به حجم بالایی دارند (شکل ۵). این امر در واقع بدین معنا است که تعداد حباب‌ها در واحد حجم بسیار بیشتر از حباب‌های ماکرو و میکرومتری است. در واقع، با کم شدن اندازه‌ی حباب‌ها سرعت و احتمال تماس جهت واکنش پذیری به میزان بسیار زیادی افزایش می‌یابد[۲۰].

¹ Ishida

² Tapping mode atomic force microscopy

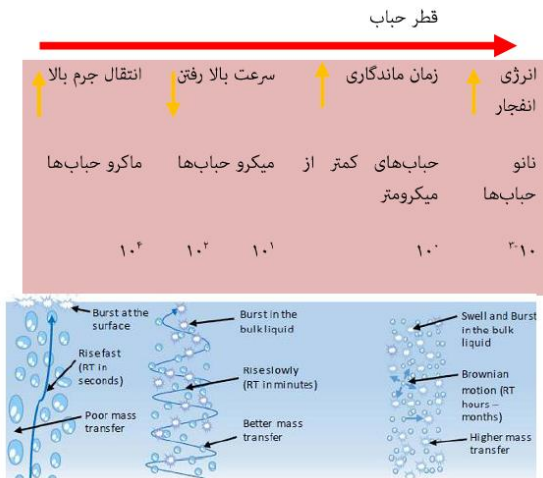
ترتیب فشار داخلی یک نانوحباب با شعاع 50 nm باید معادل 3 MP باشد. چنین فشاری مسلماً سبب خروج فوری گاز از داخل نانوحbab بصورت آنی خواهد شد. در واقع، بر اساس این تئوری و با افزایش فشار داخلی بواسطه ابعاد کوچک نانوحbab، انحلالپذیری گاز افزایش می‌یابد. هرچه قطر این حباب کوچکتر شود این انحلالپذیری نیز افزایش خواهد یافت. در چنین حالتی این نانوحbab 50 nm نمی‌تواند بیشتر از $5\mu\text{m}$ پایدار باشد. در این صورت نانوحbab پیش از تشکیل باید فروپاشیده شود و بنابراین، نمی‌تواند وجود خارجی داشته باشد. این در حالی است که نانوحbabها بسیار پایدار هستند [۲۴].

در مورد علت پایداری بیش از انتظار نانوحbabها هنوز هم دانشمندان به یک سازوکار واحدی نرسیده‌اند. در واقع به نظر میرسد که در این مورد سازوکارهای متفاوتی درگیرهستند که برای نانوحbabها توده و نانوحbabها سطحی متفاوت هستند. مهمترین سازوکارهای مورد تایید به صورت زیر هستند:

۳-۴-الف.- پایداری نانوحbabها از طریق دافعه‌ی الکترواستاتیک: همانطور که در بالا نیز اشاره شد نانوحbabها دارای سطحی با بارالکتریکی منفی هستند. این امر سبب اعمال نیروهای دافعه بین یونهای هم بار بر فصل مشترک آنها می‌شود و بدین صورت از درهم آمیختگی^۴ نانوحbabها جلوگیری کرده و سبب پایداری بیشتر از حد مورد انتظار آنها می‌شود. [۲۵].

۳-۴-ب.- پایداری نانوحbabها از طریق پیوندهای هیدروژنی: با بررسی‌های انجام شده حاصل از طیف سنجی $^{\circ}\text{ATR-IR}$ مشخص شده است که فصل مشترک گاز-آب، آبگریز بوده و درنتیجه مولکولهای آب می‌توانند پوسته‌هایی^۵ از پیوندهای هیدروژنی با ساختارهایی شبیه آنچه که در آبهای بیخ زده و گازی و نیز ترکیبات هیدراته وجود دارد در اطراف فضاهای گازی تشکیل دهند. این عامل بطور چشمگیری از انفوذپذیری گاز از طریق فصل مشترک جلوگیری نموده و تنش سطحی بزرگتر (در حدود دو برابر حد نرمای) ناشی از این فصل مشترک سخت، به حفظ یک تعادل کنیتیکی در مقابل فشار داخلی کمک می‌کند [۲۶].

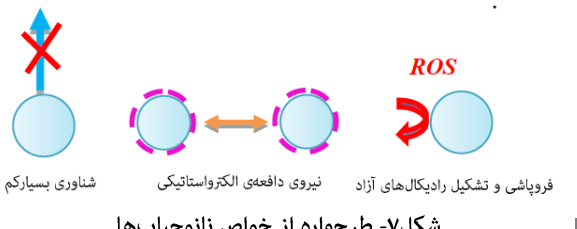
۳-۴-ج.- پایداری نانوحbabها به وسیله خوشهای شدن^۶: وقتی یک نانوحbab توده بوسیله‌ی نانوحbabهای اطراف احاطه شده



شکل ۶- کاهش نیروی شناوری نانوحbabها در مقایسه با میکرو و ماکرو حبابها و رفتار آنها در رسیدن به انفجار [۲۱]

۳-۴- طول عمر غیرعادی بلند

نانوحbabها به دلیل نیروی شناوری فوق العاده کمی که دارند در میانعات حرکات براونی از خود نشان می‌دهند. بطوري که بنظر میرسد پوسته‌هایی از یک ماده جامد در اطراف آنها قرار گرفته است، دقیقاً مشابه همان رفتاری که در نانوذار特 جامد دیده می‌شود (شکل ۷). بر این اساس همانطور که در بخش پیشین نیز اشاره شد، حباب‌های معمولی با قطری در حد میلی متر تمایل دارند که بسیار سریع به سطح مایع بیانند و در آنجا منفجر^۷ شوند. میکرو حباب‌ها به صورت تدریجی با حل شدن گاز داخل آنها در مایع اطراف کوچک شده و در نهایت فرو می‌پاشند^۸ (طول عمری از چند ثانیه تا نهایتاً چند ساعت) این در حالی است که نانوحbabها اصولاً مدت زمان زیادی در مایع پایدار هستند (طول عمری از چندین ساعت تا چند ماه) [۲۳].



شکل ۷- طرح واره از خواص نانوحbabها

دانیای نانو	ISC انجمن فناوری ایران
علمی-	فصلنامه
ترویجی	
ابزاری	

برای روشن تر شدن علت(های) این رفتار، تئوری‌های متفاوت مورد بررسی قرار گرفته‌اند. بر اساس تئوری‌های کلاسیک ترمودینامیک و قانون یانگ-لایپلاس^۹ (معادله ۲)، فشار داخلی یک حباب معادل $P_{in}=2\gamma/r$ است بطوری که γ تنش سطحی بین گاز و آب (72 mN/m) و r شعاع حباب است. بدین

⁴ Coalescence

⁵ attenuated total reflectance infrared

⁶ clathrate

⁷ Clustering

¹ Burst

² Collapse

³ Young-Laplace equation

آبگریزی منجر به دفع آب شده که این امر می‌تواند به پایداری آنها کمک کند.

از آنجاییکه ذرات ناخالصی اصولاً آبگریز هستند، بنابراین می‌توانند سبب بهبود پایداری هسته‌های گازی شوند. علاوه براین، نانوحبابها می‌توانند ناخالصی‌ها را در سطح خود جمع کنند. این لایه‌ی پوششی از آلودگی‌های نامحلول در سطح آنها برایتی می‌تواند با تنش سطحی مخالفت و یا سبب کاهش آن شود و بدین ترتیب یک سد محافظتی در مقابل خروج گاز ایجاد نماید.[۲۸]

۴- روش‌های تولید نانوحبابها

در سال‌های اخیر، نانوحبابها توجه زیادی به خود جلب کرده و مطالعات گستردگی‌ای در این زمینه به چاپ رسیده است. تولید نانوحبابها بطور کلی به سه روش زیر امکان‌پذیر است:

۴-۱- تولید خودبخودی

در این روش نانوحبابها سطحی بطور خودبخودی بر روی سطحی با آبگریزی به اندازه کافی بالا مانند سطوح تفلون و سیلیکای تولید می‌شوند. در این موارد ناهمگنی سطح چه از لحاظ فیزیکی و چه از لحاظ شیمیایی برای تشکیل هسته‌های گازی بر روی سطح و نیز جهت پایداری نانوحبابها تشکیل شده کمک قابل توجهی می‌کند[۶].

۴-۲- فوق اشباعی گاز در مایع

یکی از شایع ترین روش‌های تولید نانوحبابها توده و نیز نانوحبابها سطحی، استفاده از فوق اشباعی گاز در محیط است. در این حالت غلظت فوق اشباع از یک گاز در یک مایع تحت شرایط فشار بالا حل شده و سپس با حذف فشار، مولکولهای گاز برای باقی ماندن در مایع مجبور به تشکیل نانوحبابها هستند. از جمله روش‌های کاربردی در این زمینه تشکیل نانوحبابها با روش‌های الکترولیز و نیز تعویض حلال^۴ است[۶، ۲۰ و ۲۹].

در فاصله‌ی سال‌های ۲۰۰۱ تا ۲۰۰۹ کیکوچی و همکارانش در زمینه‌ی تولید نانوحبابها به روش الکترولیز مطالعاتی داشته‌اند[۳۰-۳۲]. در این روش، گاز خارج شده از الکترودها (هیدروژن در کاتد و اکسیژن در آند) سبب فوق اشباعی مایع می‌شود. در محلول کاتدی ذراتی با ابعاد ۶۰-۱۰ nm با پایداری حداقل ۴ ساعت بوسیله‌ی DLS شناسایی شدند[۳۲]. به همین ترتیب، در محلولهای آندی، ذرات ۳۰ nm تولید می‌شوند که

باشد، در واقع مشابه این است که سایر نانوحبابها مانند پوسته‌ای در اطراف آن قرار گرفته‌اند و غلظت موضعی بالایی از گاز حل شده در مایع اطراف، مانع از انحلال و خروج گاز به خارج^۱ از حباب خواهد شد. برای این منظور لازم است که خوشهای شدن بین نانوحبابها در جاییکه فاصله‌ی بین آنها خیلی زیاد نیست وجود داشته باشد[۲۷].

دو عامل عمده‌ی تهدید برای پایداری نانوحبابها در حالت خوشهای شامل حرکات براونی و سازوکارهای رشد بصورت زیر هستند.

حرکات براونی می‌توانند باعث برخورد نانو حبابها و منجر به در هم آمیختگی و لخته شدن حباب‌های داخل خوشه شوند. با در نظر گرفتن این احتمال، از آنجایی که فاصله‌ی بین حباب‌های همسایه در بهترین حالت به اندازه‌ی ۱۰ برابر قطر حباب است، حرکات براونی داخل محلول می‌تواند منجر به برخورد حباب‌ها با یکدیگر شود. یک راه ممکن برای جلوگیری از این امر اطمینان از وجود نیروی دافعه‌ی بین آنها است. منشاء این نیروهای دافعه‌ی الکترواستاتیک (که به اندازه کافی بلند برد هستند) می‌تواند ناشی از بارهای منفی ذاتی موجود بر سطح حباب‌های گاز و یا عوامل خارجی مانند سطح فعالها باشد.

در صورتی که اندازه حباب‌های همسایه با هم متفاوت باشد حباب‌های کوچکتر از طریق نفوذ^۲ به سمت حباب‌های بزرگتر کشیده شده و از طریق فرایند استوالد رایپنینگ^۳ منجر به عدم پایداری حباب‌ها می‌شود. البته در این حالت نتایج تجربی نشان می‌دهند که حباب‌های بزرگتر تشکیل شده در خوشهای همچنان قادر هستند که پایدار پانند.

بنابراین، پیش‌بینی می‌شود چنانچه خوشهای پایدار از نانوحباب‌ها داشته باشیم و سیستم در مقابل گاز عایق باشد، تا زمانی که حباب‌ها نتوانند در یکدیگر حل شوند و نیز از پدیده استوالد رایپنینگ جلوگیری شود سیستم برای همیشه پایدار می‌ماند[۲۷].

۴-۳-۴- پایداری به کمک سطوح آبگریز و ناخالصی‌ها

نانوحبابها در تماس با آب و محلول‌های آبی می‌توانند بطور خودبخودی بر روی سطوح آبگریز تشکیل و از طریق خاصیت

¹ Diffuse out

² Diffusion

³ Ostwald ripening

چشمگیری تشکیل میکروگرداهها و در نتیجه اندازه‌ی نانوحبابها را تحت تاثیر قرار داده و سبب تسهیل فرایند می‌شود^[۳۵].

۵- کاربرد نانوحبابها

بطور کلی کاربرد نانوحbabها را می‌توان به ۳ دسته متفاوت طبقه‌بندی کرد:

الف- کاربردهای صنعتی شامل تصفیه آب، پساب و فاضلاب، ضدغونی کردن، جداسازی و استخراج مواد معدنی و مولکولهای زیستی، کاربردهای مورد مصرف در بحث انرژی و کشاورزی و در نهایت کاربردهای پژوهشی است.

در این مقاله، به کاربردهایی که در بخش کشاورزی و صنعت بیشتر مورد توجه هستند پرداخته می‌شود.

۱- کاربرد در بخش کشاورزی

در سالهای اخیر، گزارش‌هایی مبنی بر استفاده از نانوحbabها (و بخصوص نانوحbabهای اکسیژن) بعنوان محركهای رشد^۰ برای مخرمهای، گیاهان، جلبکها و حلزون دریایی ارائه شده است^[۳۶-۳۹]. بعنوان مثال پژوهشگران ژاپنی اثر آب غنی از نانو حbabهای اکسیژن را بر جوانه زنی بذرهای گیاهان هویج و اسفناج بررسی کرده‌اند^[۴۰]. مطالعات آنها نشان داده است که غلظت و حضور نانو حbabها به صورت چشمگیری بر نرخ و میزان جوانه زنی این بذرها موثر است. آنها این اثر را به تشکیل رادیکالهای آزاد اکسیژن نسبت داده‌اند. بنابراین، علیرغم افزایش نرخ جوانه زنی انتظار ایجاد سمیت در غلظتهای بالاتر از غلظت بحرانی نانوحbabها وجود دارد. مشاهدات آنها نشان داده است که با افزایش غلظت نانوحbabها 1 mL^{-1} سرعت جوانه زنی برای بذرهای اسفناج به شدت افزایش می‌یابد و این در حالی است که بذرهای هویج در این غلظت دچار سمیت می‌شوند. با رقیق کردن نانوحbabها و کمتر شدن غلظت آنها سمیت بطرف شده و از طرف دیگر سرعت جوانه زنی بذرهای هویج نیز (نسبت به نمونه‌های کنترل) افزایش می‌یابد. به تازگی گروه دیگری از پژوهشگران چینی و انگلیسی در یک تحقیق مشترک نشان داده‌اند که عمر ماهی گوخرخی^۱ و نیز نرخ جوانه زنی علف مارماهی در کف دریا در شرایطی که با کمبود اکسیژن مواجه هستند، با اضافه کردن نانوحbabهای اکسیژن بطور قابل ملاحظه‌ای بهبود می‌یابد^[۴۱]. چنین اثراتی هرگز در یک محیط حاوی مقدار یکسان اکسیژن بدون حضور

پس از سه روز ابعاد آنها تا 250 nm بزرگ می‌شود و پس از ۵ روز این ذرات دیگر قابل شناسایی نیستند. براساس این مقالات ذرات شناسایی شده در محلولهای کاتدی و آندی به ترتیب نانو حbabهای هیدروژن و اکسیژن هستند.

۴-۳- ایجاد اختلالات و آشفتگی‌ها در مایعات

در این روش، نانوحbabها از طریق آشفتگی‌های شدید در مایعات بوجود می‌آیند. این حالت می‌تواند به دو طریق کلی اتفاق بیافتد:

الف- ایجاد فضاهای خالی صوتی^۲ که در انها فضاهای خالی با استفاده از امواج مأ فوق صوت در مایع تشکیل می‌شود^[۲۰] و [۲۳].

ب- ایجاد فضاهای خالی هیدرودینامیک^۳ که بوسیله‌ی لوله‌های ونتوری^۴ تزریق آب تحت فشار حاوی گاز و استفاده از جریان‌های چرخشی شدید که در آنها فضاهای خالی با اعمال تعییرات بسیار شدید فشاری در مایعات بوجود می‌آیند. در واقع اعمال سیکل‌های متناوب فشاری سبب تراکم و انبساط موضوعی در مایع شده که این امر باعث ایجاد حbabهای پر شده از مایع تبخیر شده و یا گازهای حل شده در مایع می‌شود. در حین تولید، بواسطه‌ی حضور تعداد زیادی از میکرو حbabها محلول به رنگ شیری تبدیل می‌شود. پس از متوقف کردن تولید حbabها، میکرو حbabها به واسطه‌ی نیروی شناوری بالاتری که دارند به سمت سطح مایع حرکت کرده و بتدريج در سطح ناپذید می‌شوند. پس از چند دقیقه، آب مثل همیشه شفاف می‌شود. در این حالت نانوحbabها توده با قابلیت پایداری طولانی مدت (برای چندین ماه) قابل شناسایی هستند^[۳۳] و [۳۴].

بر این اساس، به تازگی گروه ما توانسته‌اند از طریق یک روش بسیار سهل الوصول و کاربردی با اعمال تعییرات فشاری در رژیم جریان آشفته با استفاده از جریان‌های گردابی (که در یک طول مشخصه در مقیاس‌های کمتر از میکرومتری اتفاق می‌افتد)، نانوحbabهای پایدار (بدون ایجاد میکرو حbabها) تولید کنند. در این روش، اعمال تعییرات ساده در پارامترهای جریان (مانند سرعت جریان و اختلاف دما) که منجر به تعییر در شدت آشفتگی و در نتیجه طول مشخصه شده و از این طریق ابعاد و غلظت نانوحbabهای تولیدی به طور مؤثری کنترل می‌گردد. علاوه بر این، در این تحقیق نشان داده شد که حضور و اندازه‌ی پس جانبی صفحات دو پسی گرافین اکساید^۵ (GO) به طور

فصلنامه
علمی-
ترویجی
انجمن ISC
نانوفناوری
ابزار

^۱ Acoustic cavitation

^۲ Hydrodynamic cavitation

^۳ Venturi tube

^۴ Graphene oxide

دارند که از آن جمله می‌توان به انحلال پذیری و پایداری کم این گاز در آب، قیمت بالا و سرعت واکنش پایین اشاره کرد. علاوه بر این، اکسیداسیون این گاز برای بسیاری از مواد یک اکسیداسیون ناقص است بطوریکه می‌تواند ترکیبات سمی مانند آلدئید، کتون و نیز اسیدهای کربوکسیلیک در آب برجای بگذارد در این حالت برای حذف این مواد از آب مراحل اضافی مانند فیلتراسیون با کربن فعال از مراحل ضروری و مهم بحساب می‌آید [۴۵].

به تازگی استفاده از میکرو/نانوحبابها تا حدود زیادی این مشکلات را برطرف نموده است. در واقع این حبابها علاوه بر افزایش قابلیت نگهداری گاز در آب، افزایش غلظت گاز در آب و افزایش نفوذپذیری و چسبندگی به ناخالصی‌ها، قادر به تشکیل رادیکالهای آزاد با قدرت اکسیدکنندگی بسیار بالا هستند. اکثر مواد آلی و غیر آلی می‌توانند بطور مستقیم و یا غیر مستقیم با ازن و رادیکالهای هیدروکسیل بر همکنش کردد و فرایند اکسیداسیون را انجام دهند. اما رادیکالهای آزاد هیدروکسیل ناشی از نانوحبابها با قابلیت اکسندگی $V_{20/8} + V_{20/7}$ در مقایسه با مولکول ازن با قدرت اکسندگی $V_{22/45}$ قدرت بالاتری برای حذف مواد آلی از خود نشان می‌دهند [۲۲ و ۴۵]. سازوکار تولید رادیکالهای آزاد در آب توسط میکرو/نانوحباب‌ها در واقع به حضور بارهای الکترونیکی در سطح نانوحباب‌ها بر می‌گردد. در حقیقت نرخ در حال افزایش انتقام این حباب‌ها سبب افزایش بار در واحد سطح آنها شده و از طرف دیگر حرکت یونهای با بار مخالف داخل محلول سرعت کافی برای خنثی کردن این بار اضافی در سطح را ندارند (شکل ۸). در این حالت یونهای اضافی در فصل مشترک گاز-آب حبس شده و سبب افزایش پتانسیل در ضمن فروپاشی حباب می‌شوند. بدین صورت تمرکز یونها در محلول تغییر کرده و به سطح حباب منتقل می‌شود. در واقع دانسیته‌ی آنی بالای یونها در سطح حباب‌های در حال فروپاشی می‌تواند توضیح بالقوهای برای تشکیل رادیکالهای آزاد ناشی از میکرو/نانوحباب‌ها باشد [۴۵ و ۴۸، ۲۳].

نانوحباب مشاهده نمی‌شود. در واقع این اثرات به واسطه طبیعت آبگریزی نانوحباب‌ها است که می‌توانند یک سازوکار انتقالی موثر برای تحويل و رساندن گازهای حیاتی مانند اکسیژن و دی‌اکسید کربن به سلول‌ها را انجام دهند [۲۰].

از طرف دیگر، به تازگی نشان داده شده است که جوانه‌زنی ناخواسته و در شرایط نامطمئن با استفاده از آب حاوی نانوحباب‌های هیدروژن بطور قابل ملاحظه‌ای کاهش می‌یابد. این اثر به خاصیت آنتی اکسیدانی نانوحباب‌های هیدروژن نسبت داده شده است [۴۲].

۵-۲- کاربردهای مورد مصرف در بحث انرژی

در تحقیقاتی مشخص شده است که بهینه سازی و بهبود بازده موتور اتومبیل از طریق استفاده از نانوحباب‌های پایدار هیدروژن در بنزین امکان‌پذیر است [۴۳ و ۴۴].

۵-۳- تصفیه پساب با استفاده از نانوحباب‌ها

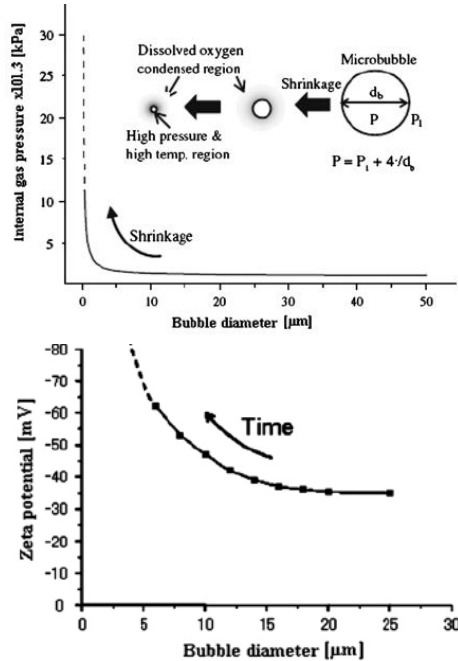
اثرات مضر مواد شیمیایی سمی در زندگی شهرنشینی به خوبی شناخته شده است. اما، متساقنه امکان حذف همه این مواد شیمیایی وجود ندارد. از طرفی، حفظ یک محیط زیست سالم و تمیز، امروزه به یک موضوع اجتماعی بزرگ تبدیل شده است. در این بین، حفظ آب سالم و تصفیه‌ی پساب و فاضلاب برای تولید آب سالم از اهمیت شایان توجهی برخوردار است [۴۵]. بطوری که سازمان ملل دسترسی به آب سالم خوراکی را یکی از حقوق انسان‌ها تعریف کرده است. بنابراین لازم است که پساب‌های شهری و صنعتی پیش از وارد شدن به آبهای آزاد پاک سازی شوند [۴۶]. جلوگیری از وارد شدن آلودگی‌های طبیعی (مانند مواد سمی آرسنیکی، کروم فلورایدیها، فکها، هسته‌های پرتوزا، سلنیوم و مواد آلی)، آلودگی‌های دست بشر (مانند نیترات‌ها، فسفات‌ها، حلال‌ها، مواد افزودنی سوختی و مواد دارویی) و ذرات زیستی (مانند ویروس‌ها و باکتری‌ها) (که می‌توانند مشکلاتی مانند سمیت و یا ایجاد صحنه‌های نازیبا برای دریاها، دریاچه‌ها، آبهای زیر زمینی و یا پساب‌ها ایجاد کنند) از بزرگترین اولویت‌های سیاست‌های زیست محیطی محسوب می‌شود. این مشکلات برای استفاده و یا باز مصرف مفید آب در سیستم‌های آب شهری و روستایی پیچیدگی‌های زیادی ایجاد می‌کنند [۴۷].

از مهمترین مراحل در تصفیه پساب و فاضلاب برای حذف آلودگی‌های غیرآلی مانند آمونیاک و آلودگی‌های آلی مانند حشره کش‌ها و رنگزه‌ها، مرحله‌ی اکسیداسیون با گاز ازن است. علیرغم مزایای زیادی که گاز ازن برای اکسیداسیون و حذف آلودگی‌ها دارد عوامل محدود کننده‌ای نیز در این ارتباط وجود

مساحت سطح به حجم بالاتر و همچنین طول عمر بیشتری (چندین روز و حتی ماه نسبت به چند ثانیه) که نسبت به میکرو حبابها و یا حبابهای بزرگ دارند، کارآیی بیشتری در توزیع گاز در آب داشته و موقعیت مناسبی برای ایجاد تحولاتی بزرگ در زمینه فرایندهای تصفیهی آب که وابسته به انتقال بهینه‌ی گاز است ایجاد می‌کنند [۲۲].

جهت روشن‌تر شدن و نشان دادن اهمیت ضریب انتقال جرم جالب است که به آمارهای بین المللی در این زمینه نگاهی بیندازیم. سالانه ۱-۲٪ از مصرف انرژی در ایالات متحده به فرایندهای تصفیهی آب بر اساس هوادهی اختصاص می-یابد [۵۰]. تخریب‌های زیستی بر اساس هوادهی، بر انحلال اکسیژن به عنوان یک الکترون گیرنده خارجی تکیه دارند. پخش کنندگان (دیفیوزرهای) هوای فشرده در بیوراکتورها، حبابهایی با ابعاد $10\text{-}5 \text{ mm}$ را با بازدهی ۳۰٪ $4/5$ متر بالاتر از کف راکتورها تولید می‌کنند. محدودیت کارآیی هوادهی از طریق پارامترهای (۱) نرخ انتقال اکسیژن از گاز به هوا و (۲) نرخ برداشت اکسیژن توسط میکروبها تعیین می-شود. با کاهش قطر حبابها، انتقال جرم گاز (بواسطه‌ی کاهش نیروی شناوری و افزایش مساحت سطحی) افزایش می‌یابد. ترکیدن، انحلال و یا درهم آمیختگی نانو حبابها در ستون آب بجای ترکیدن در سطح نیز می‌توانند از مزایای دیگر نانو حباب‌ها به حساب آید [۵۱ و ۵۲].

موضوع مورد اهمیت دیگر برای خذف آلاینده‌ها از آب از طریق پل زدن در آب است. در واقع حذف ذرات از طریق تجمع ذرات به منظور بهبود جداسازی از طریق ته نشینی، فیلتر سازی، یا شناورسازی است [۵۳]. بر هم کنش‌های ذره-ذره اصولاً از طریق نیروهای آبگریز و واندروالس حاصل می‌شود. بیشتر ذرات در آب خوارکی و فاضلابها بصورت منفی باردار هستند و به همین منظور منعقد کننده‌های فلزی و بسپارهای با بار مثبت به ذرات نایاپیدار افزوده می‌شوند تا نیروهای دافعه‌ی الکترواستاتیک را ختنی و به تشکیل تجمع و جداسازی از آب کمک کنند [۵۴-۵۶]. از آنجایی که نانو حبابها نیز بطور مشابه بصورت منفی باردار هستند، می‌توانند تشکیل پل‌های گازی که به تجمع ذرات کمک می‌کنند را بهبود دهند. شکل ۹ چگونگی تشکیل این پل‌های گازی بعنوان یک روش غیر شیمیایی برای حذف آلاینده‌ها را نشان می‌دهد. در روش‌های شناوری معمولی که برای جداسازی ذرات در آب استفاده می‌شود، گاز در آب (با کمک فشار) به صورت فوق اشباع درآمده و سپس در محلول با فشار جو رها می‌شوند. این فرایند، منجر به تشکیل میکروحبابها می‌شود هرچند احتمال تشکیل نانو حبابها نیز در این فرایند وجود دارد. همین امر می‌تواند دلیلی بر افزایش



شکل ۸- افزایش شدید افزایش پتانسیل سطحی و فشار داخلی میکرو/نانوحبابها در حین فروپاش [۲۳]

مقدار و سرعت تولید رادیکالهای آزاد از میکرو/نانوحبابها بصورت چشمگیر به نوع گاز محبوس شده در حباب، pH محیط و حضور کاتالیست‌های مانند کاتالیست‌های برپایه مس بستگی دارد. بعنوان مثال میکرو/نانوحباب‌های ازن و اکسیژن نسبت به حباب‌های نیتروژن تمايل بسیار بیشتری برای تولید رادیکالهای آزاد دارند. از طرف دیگر، تشکیل این رادیکالهای آزاد در محیط‌های اسیدی به میزان زیادی افزایش می‌یابد [۴۵]. امروزه، بسیاری از فرایندهای گندزاری بر اساس اکسندرهای هالوژنی (مانند کلرین‌ها) است که استفاده از آنها ریسک تشکیل محصولات جانبی سلطانزا^۱ (DBPs) را به همراه دارد. نانو حباب‌ها با وجود پایداری زیادی که دارند (بیشتر از ساعت-ها)، با قابلیت تولید پیوسته‌ی رادیکالهای آزاد OH می‌توانند در سیستم‌های توزیع آب جهت اکسید کردن DBPs، کاهش بیوفیلم‌ها و عوامل بیماریزا و بعنوان جایگزین کلرین‌ها بسیار مفید عمل کنند [۴۹].

فصلنامه
علمی-
ترویجی
انجمن ISC
نانو فناوری
ابزار

دنیای نانو

- treatment. *Chemosphere*, 84, 1175–80, (2011).
- [2] C. Wu, K. Nesson, J. Masliyah, Z. Zu, Generation and characterization of submicron size bubbles. *Adv. Colloid Interface Sci.*, 179–182, 123–132, (2012).
- [3] L. Shu, Q. Wang, H. Ma, P. Huang, J. Li, T. Kikuchi, Effect of micro-bubbles on coagulation flotation process of dyeing wastewater. *Sep. Purif. Technol.*, 71, 337–346, (2010).
- [4] M. Takahashi, K. Chiba, P. Li, Free-radical generation from collapsing microbubbles in the absence of a dynamic stimulus. *J. Phys. Chem. B*, 111(6), 1343–1347, (2007).
- [5] K. Terasaka, A. Hirabayashi, T. Nishino, S. Fujioka, D. Kobayashi, Development of microbubble aerator for waste water treatment using aerobic activated sludge, *Chem Eng Sci.*, 66(14) 3172–3179, (2011).
- [6] J. R. Seddon, D. Lohse, Nanobubbles and micropancakes: gaseous domains on immersed substrates *J. Phys.: Condens. Matter*, 23 133001 (22pp), (2011).
- [7] M. Alheshibri, J. Qian, M. Jehannin, V.S.J. Criag, A history of nanobubbles, *Langmuir*, 32, 11086–11100, (2016).
- [8] H.X. Zhang, Z. Ziaodong, J. Sun, Z. Zhang, G. Li, Fang H., X. Xiao, X. Zeng, J. Hu, Detection of novel gaseous states at the highly oriented pyrolytic graphite–water interface *Langmuir*, 23, 1778–1783, (2007).
- [9] D. Sette, F. Wanderling, Nucleation by cosmic rays in ultrasonic cavitation. *Phys. Rev.*, 125 (2), 409–417, (1962).

حذف آلاینده‌ها نسبت به روش‌های معمول استفاده از میکرو حباب‌ها باشد. در واقع، پل زنی بین نانوحباب‌ها و محیط‌های جاذب نیز می‌تواند سبب حذف بهتر آلاینده‌های آبی از آب شود.



شکل ۹- تشکیل یک پل گازی بین یک ذره و سطح پوشیده از نانوحباب با گذشت زمان و کمک به تجمع ناخالصی‌ها

۶- نتیجه‌گیری

فناوری نانوحباب‌ها از لحاظ تئوری و آزمایشگاهی با مصرف کمتر مواد و کوچک کردن تجهیزات، قابلیت فوق العاده‌ای در طراحی و اجرای تکنیک‌های زیست محیطی با کاهش هزینه‌های بالادستی از خود به نمایش گذاشته‌اند. بر این اساس، بنظر مرسد با توجه به توانایی بالای نانوحباب‌ها در انتقال جرم، تشکیل رادیکال‌های آزاد و عملکرد بالای تخریب آلاینده‌های آبی، این تکنولوژی آینده‌ی درخشانی در صنعت برای تصفیه‌ی آب و پساب کارخانه‌ها بخصوص کارخانه‌های مانند کارخانه‌های نساجی داشته باشد. کاربردهای گستره‌ای از نانوحباب‌ها برای جداسازی، گندزدایی، و کاهش مواد آبی در آب (از طریق توانایی بالای آنها در شناسورسازی و تجمع نانوحباب-ذره، انتقال موثرتر ازن و افزایش زمان تماس این گاز در مایع بواسطه‌ی پایداری بالای نانوحباب‌ها و همچنین تشکیل رادیکال‌های آزاد برای فرایندهای اکسایش پیشرفت‌ه) پیش‌بینی می‌شود. همچنین، انتظار می‌رود تشکیل رادیکال‌های آزاد بدون نیاز به مواد شیمیایی مخرب، جایگاه ویژه‌ای را برای استفاده از نانوحباب‌ها در صنعت کشاورزی فراهم کند. نانوحباب‌های اکسیژن بخصوص با قابلیت اکسیژن‌رسانی می‌توانند نویدبخش روش‌های ایمن برای تحریک و تسريع رشد قارچ‌ها، مخمرها و گیاهان باشند. هرچند، تحقیقات گستره‌تری در زمینه چرخه‌ی حیات این ساختارها در ضمن مصارف متفاوت جهت فهم کامل کاربردها و سازوکارهای درگیر در عملکرد آنها باید مد نظر قرار بگیرد.

منابع

- [1] A. Agarwal, Ng WJ., Y.Liu, Principle and applications of microbubble and nanobubble technology for water

- by atomic force microscopy. *J Vac Sci Technol B*, 18(5) 2573–2575, (2000).
- [20] J.L. Demangeat, Gas nanobubbles and aqueous nanostructures: the crucial role of dynamization, *Homeopathy*, 104, 101-115, (2015).
- [21] K. Ohgaki, N.Q. Khanh, Y. Joden, A. Tsuji, T. Nakagawa, Physicochemical approach to nanobubble solutions, *Chem. Eng. Sci.* 65(3), 1296–300, (2010).
- [22] T. Temesgen, T.T. Bui, M. Han, T. IL. Kim, H. Park, Micro and Nanobubble Technologies as a New Horizon for Water Treatment Techniques: A Review, *Adv. Colloid Interface Sci.*, 246, 40–51, (2017).
- [23] A. Agarwal, Ng W. Jern, Y. Liu, Principle and applications of microbubble and nanobubble technology for water treatment, *Chemosphere*, 84, 1175-1180, (2011).
- [24] S. Liu, Y. Kawagoe, Y. Makino, S. Oshita, Effects of nanobubbles on the physicochemical properties of water: the basis for peculiar properties of water containing nanobubbles, *Chem. Eng. Sci.*, 93, 250-256, (2013).
- [25] N.F. Bunkin, A.V. Shkirin, N.V. Suyazov, V.A. Babenko, A.A. Sychev, N.V. Penkov, et al., formation and dynamics of ion stabilized gas nanobubble phase in the bulk of aqueous NaCl solutions, *J. Phys. Chem. B* 120, 1291-1303, (2016).
- [26] K. Ohgaki, N. Q. Khanh, Y. Joden, A. Tsuji, T. Nakagawa, Physicochemical approach to nanobubble solutions. *Chem Eng Sci.*, 65(3), 1296–300, (2010).
- [27] J. H. Weijns, J.R.T. Seddon, D. Lohse, Diffusive Shielding Stabilizes Bulk
- [10] E.A. Hemmingsen, Cavitation in gas-supersaturated solutions. *J. Appl. Phys.*, 46 (1), 213–218 (1975).
- [11] B.D. Johnson, R.C. Cooke Generation of stabilized microbubbles in seawater. *Science*, 213 (4504) 209–211, (1981).
- [12] V. S. J. Craig, B. W. Ninham, R.M. Pashley, The Effect of Electrolytes on Bubble Coalescence in Water. *J. Phys. Chem.*, 97 (39), 10192–10197, 1993.
- [13] E.T. Degens, R.P. Herzen, H.K. Wong, , W.G. Deuser, H.W. Jannasch, Lake Kivu: Structure, chemistry and biology of an East African Rift Lake. *Geol. Rundsch*, 62 245–277, (1973).
- [14] N.F. Bunkin, F.V. Bunkin, Bubstons are stable gas microbubbles in highly diluted solutions of electrolytes. *Zhurnal Eksperimentalnoi I Teoreticheskoi Fiziki*, 101, 512–527, (1992).
- [15] J.L. Parker, P.M. Claesson, P. Attard, Bubbles, cavities, and the long-ranged attraction between hydrophobic surfaces, *J. Phys. Chem.*, 98 (34), 8468-8480, (1994).
- [16] M.A. Hampton, A.V. Nguyen, Nanobubbles and the nanobubble bridging capillary force. *Adv Colloid Interface Sci.*, 154, 30-55, (2010).
- [17] J D. Miller, Y. Hu, S. Veeramasuneni, Y. Lu, In situ detection of butane gas at a hydrophobic silicon surface *Colloids Surf. A*, 154, 137–47, (1999).
- [18] N. Ishida, T. Inoue, M. Miyahara, K. Higashitani, Nano bubbles on a hydrophobic surface in water observed by tapping-mode atomic force microscopy. *Langmuir* 16(16), 6377–80, (2000).
- [19] S.T. Lou, Z. Q. Ouyang, Y. Zhang, Nanobubbles on solid surface imaged

فصلنامه
علمی-
تربیتی
انجمن
نانوفناوری
ایران

دینای نانو

- [35] M. Jannesari, O. Akhavan, H.R. Madaah Hosseini, Graphene oxide in generation of nanobubbles using controllable microvortices of jet flows, *Carbon*, 138 8-17, (2018).
- [36] S. Liu, , S. Oshita, Y. Makino, Q. Wang, Y. Kawagoe, T. Uchida, Oxidative capacity of nanobubbles and its effect on seed germination, *ACS Sustainable Chemistry & Engineering*, 4, 1347-1353, (2015).
- [37] S. Yoshida, M. Kitano, H. Eguchi, Water uptake and growth of cucumber plants (*Cucumis sativus L.*) under control of dissolved O₂ concentration in hydroponics. *Acta Hortic.*, 440, 199–204, (1996).
- [38] E. Owusu Ansah, A. Yavari, S. Mandal, U. Banerjee, Distinct mitochondrial retrograde signals control the G1=S cell cycle checkpoint, *Nature genetics*, 40, 356-361, (2008).
- [39] S. Liu, S. Oshita, S. Kawabata, Y. Makino, T. Yoshimoto, Identification of ROS Produced by Nanobubbles and Their Positive and Negative Effects on Vegetable Seed Germination, *Langmuir*, 32, 11295–11302, (2016).
- [40] J.M.S. Davies, C.V. Lowry, K. J. A. Davies, Transient adaptation to oxidative stress in yeast, *Arch. Biochem. Biophys*, 317, 1–6, (1995).
- [41] L. Wang, X. Miao, J. Ali, T. Lyu, G. Pan, Quantification of oxygen Nanobubbles in particulate matters and potential applications in remediation of anaerobic environment. *ACS Omega*, 3, 10624–10630, (2018).
- [42] S. Liu, S. Oshita, D. Q. Thuyet, et al. Antioxidant activity of hydrogen nanobubbles in water with different reactive oxygen species both in vivo Nanobubble Clusters, *Chem. Phys. Chem.*, 13, 2197–2204, (2012).
- [28] R. Zangi, Water confined to a slab geometry: a review of recent computer simulation studies *J. Phys.: Condens. Matter*, 16, 5371–5388, (2004).
- [29] V. Kolivo, S. Miroslav, Bovine serum albumin film as a template for controlled nanopancake and nanobubble formation: In situ atomic force microscopy and nanolithography study, *Colloids and Surfaces B:Biointerfaces*, 91, 213–219, (2012).
- [30] K. Kikuchi, A. Ioka, T. Oku, , Y. Tanaka, Y. Saihara, , Z. Ogumi, Concentration Determination of Oxygen Nanobubbles in Electrolyzed Water. *J. Colloid Interface Sci.* 329, 306–309, (2009).
- [31] K. Kikuchi, S. Nagata, Y. Tanaka, Y. Salhara, Z. Ogumi, Characteristics of hydrogen nanobubbles in solutions obtained with water electrolysis. *J. Electroanal. Chem.*, 600, 303–310, (2007).
- [32] K. Kikuchi, H. Takeda, B. Rabolt, T. Okaya, Z. Ogumi, Y. Saihara, H. Noguchi, Hydrogen Particles and Supersaturation in Alkaline Water From an Alkali-Ion-Water Electrolyzer. *J. Electroanal. Chem.*, 506, 22–27, (2001).
- [33] N. K. Dube, B. E. Oeffinger, M. A. Wheatley, Development and characterization of a nano-sized surfactant stabilized contrast agent for diagnostic, *Ultrasound*, 42, 343–347, (2004).
- [34] S. Calgaroto, K.Q. Wilberg, J. Rubio, On the nanobubbles interfacial properties and future applications in flotation, *Miner. Eng.*, 60, 33-40, (2014).

- Electric Power Research Institute, (2013).
- [51] E. Metclaf, Wastewater Engineering: Treatment and Reuse, 4th ed., McGraw-Hill: Boston, (2013).
- [52] N. Jamshidi, N. Mostoufi, Measurement of Bubble Size Distribution in Activated Sludge Bubble Column Bioreactor. *Biochem. Eng. J.*, 125, 212–220, (2017).
- [53] J. C. Crittenden, R. R. Trussel, D. W. Hand, K. J. Howe, G. Tchobanoglous, Water Treatment Principles and Design, 3rd ed.; Wiley: Hoboken, NJ, 2012.
- [54] S. Garcia-Segura, M. M. S. G. Eiband, J. V. de Melo, C. A. Martínez-Huitl, Electrocoagulation and advanced electrocoagulation processes: A general review about the fundamentals, emerging applications and its association with other technologies. *J. Electroanal. Chem.*, 801, 267-299, (2017).
- [55] O. D.Schneider, J. E.Tobiason, Preozonation Effects on Coagulation. *J. Am. Water Works Assoc.*, 92, 74–87, (2000).
- [56] J. E.Tobiason, G. S.Johnson, P. Westerhoff, B. Vigneswaran, Particle size and chemical effects on contact filtration performance. *J. Environ. Eng.*, 119, 520–539, (1993).
- and in vitro, *Langmuir*, 34, 11878–11885, (2018).
- [43] S.H. Oh, J.G. Han, J. M. Kim, Long-term stability of hydrogen nanobubble fuel, *Fuel*, 158, 399–404, (2015).
- [44] S.H. Oh, S.H. Yoon, H. Song, J.G. Han, J-M. Kim, Effect of hydrogen nanobubble addition on combustion characteristics of gasoline engine, *Int. J. Hydrogen Energy*, 38, 14849–14853, (2013).
- [45] S. Khuntia, S. Kumar, Microbubble-aided water and wastewater purification: a review, *Rev. Chem. Eng.*, 28, 191–221, (2012).
- [46] A. J. Atkinson, O. G. Apul, O. Schneider, S. Garcia-Segura, P. Westerhoff, Nanobubble technologies offer opportunities to improve water treatment, *Acc. Chem. Res.*, 52, 1196–1205, (2019).
- [47] D. Hanigan, L. Truong, M. Simonich, R. Tanguay, P. Westerhoff, Zebrafish embryo toxicity of 15 chlorinated, brominated, and iodinated disinfection by-products. *J. Environ. Sci.*, 58 302–310, (2017).
- [48] M. Takahashi, K. Chiba, P. Li, Free-radical generation from collapsing microbubbles in the absence of a dynamic stimulus. *J. Phys. Chem. B*;111, ,1343–1347 (2007).
- [49] S. W. Krasner, W. A. Mitch, P. Westerhoff, A. Dotson, Formation and Control of Emerging C- and N-DBPs in Drinking Water. *J. Am. Water Works Assoc.*, 104, 582–595, (2012).
- [50] S. Pabi, A. Amarnath, R. Goldstein, L. Reekie, Electricity Use and Management in the Municipal Water Supply and Wastewater Industries,

فصلنامه
علمی-
تربیتی
انجمن
نانوفناوری
ایران

دینیا نانو